الكشف عن بكتريا المكورات العنقودية الذهبية Staphylococcus aureus في حالات التهاب المجاري البولية في الإنسان ودراسة تأثير المضادات الحياتية على هذه البكتريا

سفيان غانم علي , خالد محمود حمادي , أنور عبد ناصر الحامعة العراقية / كلية التربية. العراق- بغداد

مستخلص

جمعت 250 عينة ادرار بشري لمرضى مصابين بالتهاب المجاري البولية (UTI) *Urinary tract infection* في مستشفيات بغداد المختلفة وحسب تشخيص الطبيب المختص. هدفت هذه الدراسة الى عزل وتشخيص بكتريا المكورات العنقودية الذهبية Staphylococcus aureus من اصابة الجهاز البولي في الانسان، واختبار المضادات الحياتية لهذه البكتريا.

تم تشخيص 24 عزلة عائدة الى بكتريا المكورات العنقودية الذهبية والاختبارات الكيموحيوية ومن ثم تم التأكد منها اعتهاداً على الصفات المظهرية والصفات المجهرية والاختبارات الكيموحيوية ومن ثم تم التأكد منها اعتهاداً على الصفات المظهرية والصفات المجهرية والاختبارات الكيموحيوية ومن ثم تم التأكد من تشخيصها باستخدام جهاز 2-Vitek ، وكذلك تم اختبار مقاومة العزلات البكتيرية المشخصة والتي تعود لبكتريا المكورات العنقودية الذهبية Staph .aureus للمضادات الحيوية باستخدام جهاز 2-Vitek ، أذ ابدت مقاومة مختلفة لهذه المضادات إذ بلغت نسبة مقاومتها // 100 للـ (Penicillin) ونسبة مقاومتها // 0 لل (-62.9) و(mycin واختلفت لبقية المضادات وكانت (Oxacillin) بنسبة (// 62.9) و(Clindamycin) بنسبة (// 63.8) و (Rifampi-) بنسبة (// 63.8) و (Ttetracycline) بنسبة (// 63.8) و (Erythromycin) وبنسبة (// 63.8) و (Erythromycin) وبنسبة (// 63.8)

الكليات المفتاحية: المكورات العنقودية الذهبية، التهاب المسالك اليولية، المضادات الحياتية.

Detection of Staphylococcus aureus bacteria in cases of urinary tract infection in human and studying the effect of antibiotics on these bacteria.

Sufyan Ghanim Ali , Khalid Mahmoud Hammady , Anwar Abd Nasser ege of Education, Baghdad, Iraq, Iraqia University Corrosponding E-mail: Sufyan.G.Mahmood@aliraqia.edu.iq

Abstract:

Collected 250 human cadre samples of patients with urinary sewage infection (UTI) at Al-Numan Teaching Hospital. This study aimed to isolate and diagnose staphylococcus aureus staphylococcus bacteria from human urinary system injury, antibiotics for this bacteria, 24 isolations of staphylococcus aureus (staphylococcus aureus) bacteria have been diagnosed, which have been confirmed based on phenomenal, microscopic and chimeococcus bacteria, and are therefore confirmed to be diagnosed using a Vitek-2 device. S. aureus has also been tested for antibiotics using the Vitek-2 system. Having shown different resistance to these antibodies, Penicillin has a 100% resistance rate. Its resistance rate was 0% for Vancomycin and varied for the rest of the antibiotics. (Oxacillin) by (% 62.9), (Gentamicin) by (% 62.9) and (Levofloxacin) (75%), (Moxifloxacin) (62.5%), (Clindamycin) (66.6%) and (Linezolid) (8.3%), (Teicoplanin) (25%), (Ttetracycline) (20.8%), (Rifampicin) (37.5%), (Trimethoprim) (25%) and (Erythromycin) (58.3%).

Key Words: Staphylococcus aureus, Urinary tract infections, Antibiotics.

المقدمة

تعد المكورات العنقودية الذهبية كرام aureus من البكتريا الموجبة لصبغة كرام positive وتكون غير متحركة وغير مكونة للأبواغ positive وهوائية Aerobic وتأخذ شكل مكورات Aerobic يكون متوسط قطرها 0.5-0.1 مايكرومتر، وتترتب على شكل أزواج أو رباعيات في اغلب نموها وتكاثرها او تكون بشكل عناقيد غير منتظمة تشبه عناقيد العنب، وتتميز بإنتاج الصبغة الذهبية ومنه اشق اسمها (-Mar) من مسجيل السلالة الأولى من بكتريا والمبح الآن مرتبطًا ضمن الرعاية الصحية. تعتبر وأصبح الآن مرتبطًا ضمن الرعاية الصحية. تعتبر واحدة من مسببات الأمراض الرئيسة المرتبطة بالرعاية الصحية في المستشفيات (Oniciuc et al., 2015).

تعد المكورات العنقودية الذهبية السبب الرئيسي لعدوى مجرى الدم والتهاب الشغاف المعدي وكذلك الالتهابات العظمية المفصلية والجلد والأنسجة الرخوة والالتهابات الجنبية الرئوية المكورات العنقودية الذهبية، وهي أهم الأنواع الطبية في جنس المكورات العنقودية التي تصيب مجموعة واسعة من الكائنات الحية التي تسبب الالتهابات التي تتراوح من الالتهابات الجلدية البسيطة (مثل الجرب والخراج) إلى الأمراض التي تهدد الحياة (مثل التهاب الشغاف والالتهاب الرئوي والتهاب العظم والنقى والتهاب السحايا وتسمم الدم ومتلازمة الصدمة السامة (Tong et al., 2015. على الرغم من أن بكتيريا المكورات العنقودية الذهبية تمثل 6-0.5 ٪ فقط من التهابات المسالك البولية (UTIs)، إلا أن العدوى غير المعالجة يمكن أن تؤدي إلى حالات خطيرة تهدد الحياة Yousefi (2016,. et al.). قد تبدأ الالتهابات الحاصلة في المسالك البولية عن طريق غزو البكتريا، وفي اغلب الاحيان تحصل عن طريق البكتريا

السالبة لصبغة غرام Gram negative مثل بكتريا Pro، وبكتريا Pseudomonas aeruginosa ، وبكتريا - Acineto ، و Enterobacter ، و Klebsiella ، و teus
للوجبة لوجبة لصبغة غرام Citrobacter مثل - Gram positive مثل - Staphylo مثل - Gram positive مثل - Staphylococcus aureus ، و coccus saprophyticus ، و بكتريا Enterococcus ، و Enterococcus ، و بكتريا Staphylococcus aureus . (2019, . Ahmed et al) . Enterococcus و هدفت الدراسة الى عزل و تحديد نسبة وجود بكتريا Staphylococcus aure ، الكورات العنقودية الذهبية - Staphylococcus aure نسبة وجود بكتريا و تعديد نسبة مقاومتها للمضادات المجاري البولية و تحديد نسبة مقاومتها للمضادات الحياتية .

المواد وطرق العمل Material جمع العينات

تم جمع 250 عينة من الأدرار للفترة من 2023\11\1 الى 2024\1. من المرضى الذين يعانون من التهاب المجاري البولية اعتمادا على الاعراض السريرية وحسب تشخيص الطبيب المختص في كل من مستشفى النعمان التعليمي ومستشفى مدينة الطب التعليمي ومستشفى الكرامة ومستشفى الكرخ العام في مدينة بغداد .حيث تم جمع العينات في الصباح الباكر لجميع المرضى وتم اهمال القطرات الاولى من الادرار واخذ الكمية الوسطى منه وحفظت في انابيب معقمة وخاصة. وبعدها نقلت العينات الى المختبر لغرض زرعها في مدة لا تزيد عن ساعة .حيث تم زراعتها في اطباق بترية حاوية على وسط اكار الدم Blood agar و وسط المنتول الملحى Mannitol salt agar بطريقة التخطيط وحضنت بدرجة حرارة 37 م° ولمدة 24 ساعة لغرض تشخيص البكتريا النامية على الاوساط الزرعية . . (Markey et .(al., 2014

التعقيم Sterilization

تم التعقيم الأوساط الزرعية والمواد المختبرية المستعملة في المختبر كما يلى:

التعقيم بالحرارة الجافة Dry hot sterilization

عقمت الزجاجيات المستعملة في الدراسة بالفرن الكهربائي Electric oven بدرجة حرارة 180م° لمدة ساعتين. (2017, Brown and Smith).

تحضير الاوساط الزعية

تم تحضير الاوساط الزرعية الجاهزة بحسب تعليهات الشركة المصنعة لها والمسجلة على العلبة، ثم تم وزن الكمية المطلوبة واذابتها في حجم معين من الماء المقطر، ثم تم تعقيمها بواسطة المؤصدة بدرجة حرارة 121م° وضغط 15باوند\أنج² ولمدة 15 دقيقة وبعدها تم ترك الاوساط الزرعية لتبرد لحين الوصول الى درجة حرارة 45م°، ومن ثم صبت في الاطباق، وبعدها تم حضنها بدرجة حرارة 37م° و لمدة 24ساعة للتأكد من عدم حدوث تلوث والتخلص من الرطوبة، وبعدها يتم حفظها في الثلاجة بدرجة حرارة 4 م° لحين الاستعمال (Markey et al., 2014).

تشخيص البكتريا

تم تشخيص العزلات البكتيرية النامية على وسط اكار الدم Blood agar و وسط المنتول الملحي - Manni tol salt agar

الخصائص الزرعية Culture characteristic

الخصائص المجهرية Microscopic characteristic الخصائص المجهرية تتدفيض العزلات بعدة اختبارات تختلف

بعضها عن بعض حيث تضمنت

التشخيص باستخدام صبغة كرام البكتيرية التي احد الخصائص المجهرية للخلايا البكتيرية التي تم دراستها باستخدام صبغة كرام (Gram stain). تم اخذ مستعمرات مفردة نقية نامية على وسط الاكار المغذي Nutrient agar ، بواسطة عروة الناقل معقم المغذي (Loop). و وضعت على شريحة زجاجية مع بضع قطرات ماء معقمة، ثم تم فرشها على الشريحة الزجاجية لين ان تجف، ومن ثم تم تثبيتها بأمرارها على اللهب لثلاث مرات بصورة سريعة وصبغت بصبغة كرام . لثلاث مرات بصورة سريعة وصبغت بصبغة كرام . وتم ملاحظة الشكل وطريقة تجمع الخلايا البكتيرية بفحصها تحت المجهر الضوئي باستعال العدسة الزيتية بفحصها تحت المجهر الضوئي باستعال العدسة الزيتية (2007 . (2017).

الاختبارات الكيموحيوية Biochemical test اختبار الكاتاليز Catalase test

تم استعمال مستعمرة نميت خلال 24 ساعة على وسط الاكار المغذي Neutrant agar بواسطة عيدان خشبية على شريحة زجاجية معقمة ونظيفة، ثم أضيف لها (المستعمرة) قطرة من كاشف بيروكسيد الهيدروجين H_2O_2 بتركيز ٪ 3. حيث يعد ظهور فقاعات الهواء خلال ثواني على سطح الشريحة الزجاجية دليل على المجابية الاختبار (Hemraj et al., 2013).

اختبار الاوكسيديز Oxidase test

يتم ذلك بترطيب ورقة الترشيح بقطرات من كاشف الاوكسيديز، ثم يتم نقل مستعمرات بكتيرية منهاة على وسط الاكار المغذي Neutrant agar خلال منهاة على وسط الاكار المغذي عيد ظهور 24 ساعة بواسطة عيدان خشبية . حيث يعد ظهور اللون البنفسجي بعد مدة زمنية تتراوح بين (30–60) ثانية نتيجة ايجابية، حيث يستعمل لمعرفة قدرة البكتريا على انتاج الاوكسيديز الذي له القابلية على اكسدة مادة Tetra methyl-p- phenylene diamine dihydro)

. (chloride

(Brooks et al., 2012 ;Jarallah and Abbas, 2014)

اختبار أنزيم التجلط Coagulase test

تم أجراء اختبار انزيم التجلط وهو عبارة عن انزيم يعمل على تحويل Fibrogen الى Fibrogen وهو يعد صفة تشخيصية للمكورات العنقودية الذهبية Staphylocci والتفريق بين باقى انواع Staphylocci بطريقة

طريقة انابيب الاختبار Tube

تم اخذ انابيب نضع فيها البلازما بنسبة (0.5 سم³)، ثم نضيف مستعمرات بكتيرية نقية ونضع انابيب الاختبار بدرجة حرارة 37 م ولمدة 24 ساعة، يعد ظهور تجلط البلازما في الانابيب دليل على ايجابية الفحص (Tille et al .,2017).

التشخيص باستعال جهاز VITEK - 2

قد تم التشخيص اعتمادا على تعليمات الشركة المصنعة .حيث تم زراعة عينات الادرار على الوسط المغذي Neutrant agar ثم حضنت بدرجة حرارة 37 م ملدة 24 ساعة وبعدها تم اخذ المستعمرات النامية النقية المفردة على الوسط الزرعي بواسطة الناقل Loop ومزجت في المحلول الفسلجي الملحى -Physiologi cal normal saline في انبوب اختبار مجهز من قبل الشركة، وبعد ذلك تم قياس العالق بواسطة جهاز العكورة المخصص لجهاز الفايتك ويجب ان تكون عكورة العالق ما بين أو تساوي (0.6 -0.5). ومن ثم وضع الانابيب في الحامل ووضع الشريط الفاحص (الكاسيت) ووضعها في الجهاز حيث تم وضعها في المكان المخصص للحشوة في الجهاز الذي يقوم بشكل تلقائى بملئ الكاسيت بالعالق البكتيري بشكل تلقائي ومن ثم تنتهي هذه العملية يعطي الجهاز ايعاز بانتهاء هذه العملية ومن ثم ننقل الحامل (الكاسيتات) الى الحقل الثاني (القارئ) الذي يقوم بقطع الاشرطة

واعطاء ايعاز بشكل اشارة رقمية اذ يتم الاحتفاظ ب لشريط داخل الجهاز اما الحامل الذي يحتوي على الانابيب فيتم اخراجه من الجهاز وبعدها يتم ادخال المعلومات الخاصة بالعينات في جهاز الحاسوب والتي تشمل الاسم والعمر والجنس ونوع العينة ورقم العينة ومن ثم تترك العينات لمدة تتراوح بين 16-8 ساعة لإعطاء نتيجة التشخيص بشكل نهائي.

النتائج والمناقشات Results and Discussions

عزل وتشخيص بكتريا المكورات العنقودية الذهبية . Staphylococcus aureus

تم عزل وتشخيص 24 عزلة عائدة لبكتريا المكورات العنقودية الذهبية Staph .aureus من مجموع عينات الادرار البشري والتي بلغت 250 عينة لمرضى مصابين بالتهاب المجاري البولية UTI بنسبة (%9.6)، وهذه الدراسة مقاربة مع ما جاء في دراسة (Kramer) وأخرون 2020، حيث كانت النسبة (%9)، بينها كانت غتلفة لدراسة (Lafon) وأخرون 2019، حيث ورد في نتائج دراستهم أن نسبة المكورات العنقودية الذهبية في نتائج دراستهم أن نسبة المكورات العنقودية الذهبية البولية .

Cultural charac- الطهرية و الزرعية teristic

تم تشخيص العزلات البكتيرية اعتهاداً على الصفات المظهرية و الزرعية، إذ ظهرت S.aureus المنهاة على وسط المنتول الملحي حسب الشكل ولون المستعمرات وظهرت ب اللون اصفر – ذهبي ((Quinn et al .,2004)).

الصفات المجهرية Microscopic characteristic

تم ظهور الخلايا البكتيرية المصبوغة بصبغة كرام Gram stain

لصبغة كرام متجمعة بشكل عناقيد وهذا دليل على انها تعود لجنس S.aureus . ز (Quinn et al .,2004).

الفحوصات الكيموحيوية Biochemical tests

تم أجراء العديد من الفحوصات الكيموحيوية لغرض التأكد من جنس البكتريا المستعملة في الدراسة، فقد أوضحت النتائج استجابة جميع العزلات لكل من اختبار الكتاليز Catalase test ، إذ ظهرت فقاعات هوائية عند أضافة بروكسيد الهيدروجين (H2O2) على سطح الشريحة الزجاجية الحاوية على البكتريا، و اختبار الكواكيوليز Coagulase test ، إذ ظهر حدوث تجلط في البلازما مما يدل على تحول الـ Fibrogen الى Fibren و هو دليل إمراضية قوي يعمل على الكشف عن البكتريا المستعملة في الدراسة والتفريق بين أنواعها، كما أظهرت النتائج الى تكون اللون الاصفر أو الذهبي (Golden or Yellow) عند زراعتها على الوسط المانيتول الملحى Mannitol salt agar ، بينها أظهرت النتائج سلبية لفحص الاوكسديز Oxidase ، أذ لم تظهر اي استجابة وعدم ظهور اللون الازرق للبكتريا المستعملة في الدراسة.

وهذا يتفق وفقاً لما جاء (Markey et al., 2015) ؛ (Singh et al., 2019) (Delgado et al., 2019)

جدول (1) يوضح نتائج الاختبارات الكيموحيوية لتشخيص بكتريا المكورات العنقودية الذهبية S.aureus

- (+) عمثل النتيجة الايجابية للفحص،
 - (-) تمثل النتيجة السلبية للفحص

النتيجة	الاختبار	ت
+	Catalase	1
+	Coagulase	2
Golden	Manntol salt agar	3
-	Oxidase	4

2 Vitek compact التشخيص باستخدام جهاز

بعد اجراء الفحوصات المظهرية والاختبارات الكيموحيوية تم تأكيد التشخيص باستخدام جهاز -Vi الكيموحيوية تم تأكيد 24 عزلة بكتيرية عائدة الى بكتريا المكورات العنقودية الذهبية S.aureus .

اختبار فحص الحساسية للمضادات الحياتية باستخدام جهاز 2-VITEK

تم أجراء فحص الحساسية الدوائية لـ 24 عزلة من بكتريا المكورات العنقودية الذهبية S.aureus من بكتريا المكورات العنقودية الموجودة في الكاسيت لجهاز Vitek -2 المستخدم في معالجة في الكاسيت لجهاز المكورات العنقودية الذهبية الاخماج التي تسببها بكتريا المكورات العنقودية الذهبية S.aureus ، والمخطط (2) يوضح نسبة المضادات الحساسة والمقاومة لبكتريا المكورات العنقودية الذهبية الحساسة والمقاومة لبكتريا المكورات العنقودية الذهبية S.aureus في الدراسة الحالية ومقارنتها مع النتائج القياسية (2023,CLSI).

سجلت نتائج الدراسة الحالية مقاومة بكتريا المكورات العنقودية الذهبية S.aureus للمضاد الحيوي السيفوكسين (Cefoxitin) بنسبة (٪87.5) وهذه النتيجة جاءت مقاربة لما جاء (Qodrati) وأخرون 2022، حيث كانت نسبة المقاومة البكتيرية لمضاد الحيوي (>٪70)، بينها جاءت مختلفة مع دراسة اخرى متعلقة بمقاومة المكورات العنقودية الذهبية لهذا المضاد الحيوي لدراسة الباحث (Naimi) واخرون 2017، بنسبة (٪56.2)، وكذلك اختلفت الدراسة الحالية مع ما جاء في دراسة الباحث (Azzam) واخرون 2023، بنسبة (٪63).

كانت نسبة الدراسة الحالية للمضاد الحيوي البنسيلين (Penicillin) بنسبة (100٪) وهذه النتيجة مطابقة لما جاء في العديد من الدراسات منها دراسة الباحث (Okorie-Kanu) وأخرون (2020) والباحث (Al Zebary) وأخرون (2017) وبنسبة (100٪).

أن سبب مقاومة S.aureus لمضادات البنسلين عائد الى انتاج انزيهات (Penicillinase)، كها يلعب الجدار الخلوي دوراً في زيادة مقاومة البكتريا (S.aureus) للمضادات الحياتية من خلال تصنيع الحهاض الامينية بكميات كبيرة تساعد في بناء الجدار الخلوي مثل (السكريات و Alanin و N-acetyl glucosamine) التي تساعد الخلية في بناء جدار خلوي سميك الذي يعمل على اظهار مستوى عالي من المقاومة (al., 2000).

كانت نسبة الدراسة الحالية للمضاد الحيوي الاوكسيسيلين (Oxacillin) بنسبة (/62.9) وهذه النتيجة جاءت مقاربة لدراسة الباحث (56٪)، بينها اختلفت واخرون (2022)، و بنسبة (/56٪)، بينها اختلفت مع دراسة الباحث (Qodrati) وأخرون (2022)، وبنسبة (/37.5٪)، وكذلك اختلفت مع ما جاء في دراسة الباحث (Zheng) واخرون (2021)، وبنسبة (/25.4٪).

يمكن ان يكون السبب الذي يجعل السلالة البكتيرية مقاومة لكل من المشيلين وجميع مضادات البكتيرية مقاومة لكل من المشيلين وجميع مضادات Lactam -β Staphylococcal Cassette Chromo- الكروموسوم -SCCm)، يقوم بتشفير بروتين بديل أرابط للبنسيلين (SCCm)، (Fri et al .,2020).

يعد ارتباط انزيهات بالغشاء تحفيز تفاعل (Pep- يعد ارتباط انزيهات بكون ضروري لربط سلاسل peptidation الذي يكون ضروري لربط سلاسل tidoclacan وبسبب ارتباطه المنخفض لكل المضادات الحياتية نوع Lactam-β فالمكورات العنقودية الذهبية عند S.aureus تكون قادرة في مقاومة المضادات الحياتية عند التعرض لها بتراكيز عالية، (Lowy et al .,2003).

كانت نسبة الدراسة الحالية للمضاد الحيوي الجنتهايسين (Gentamicin) بنسبة (/62.9) وهذه النتيجة مقاربة لما جاء (Qodrati) وأخرون (2022)،

كانت نسبة الدراسة الحالية للمضاد الحيوي الموكسيفلوكسين (Moxifloxacin) بنسبة (%62.5) وهذه النتيجة اختلفت مع دراسة الباحث (80%)، بينها كانت واخرون (2022)، بنسبة أكثر من (%80)، بينها كانت أقل بكثير مع الدراسة للباحث (Zheng) واخرون (2021)، بنسبة (%26.9).

كانت نسبة الدراسة الحالية للمضاد الحيوي الكليندمايسين (Clindamycin) بنسبة (.66.6٪) وهذه النتيجة اختلفت مع الدراسة (41.8٪)، وكذلك اختلفت واخرون (2013)، بنسبة (.41.8٪) واخرون (2023)، بنسبة (.2023)، بنسبة (.2023)، وكذلك اختلفت مع الدراسة (2019)، وكذلك اختلفت مع الدراسة (2019).

كانت نسبة الدراسة الحالية للمضاد الحيوي اللينيزوليد (Linezolid) بنسبة (٪8.3) وهذه النتيجة جاءت موافقة لما جاء في دراسة الباحث (AbdAlhafiz) واخرون (2023) بنسبة (٪8.3)، كذلك اتفقت مع دراسة (Xian YueRu) واخرون (2014) والدراسة

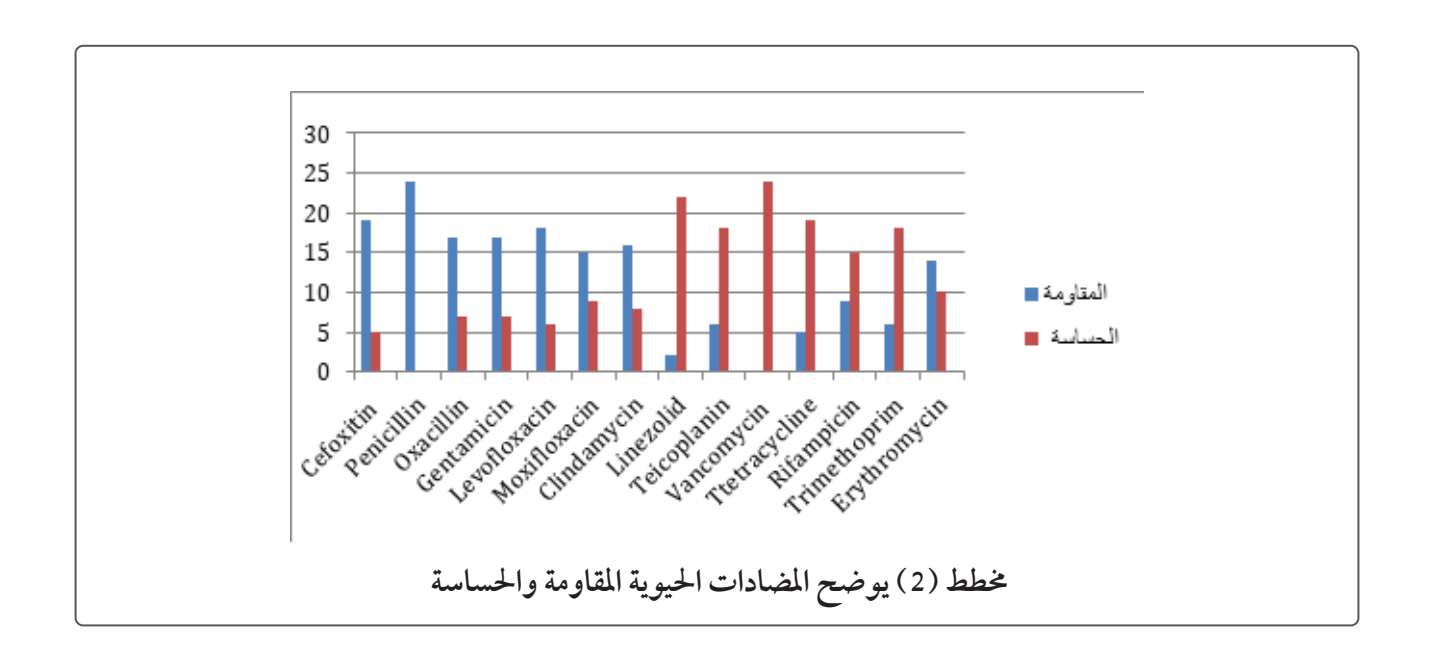
(Rafique) واخرون (2022)، بنسبة (٪8.1)و(٪8) على التوالى .

نسبة الدراسة الحالية للمضاد الحيوي التيكوبلانين (Teicoplanin) كانت بنسبة (٪25) وهذه النتيجة اختلفت مع الدراسة الحالية (Horváth) واخرون (2023)، و(Tălăpan) واخرون (2023)، وبنسبة منخفضة و(4.6٪).

كانت نسبة الدراسة الحالية للمضاد الحيوي الفانكومايسين (Vancomycin) بنسبة (%) وهذه النتيجة جاءت موافقة مع دراسة الباحث Bokharaei وأخرون (2020) والباحث Lee وأخرون (2020) بنسبة (%) وكذلك نتائج الباحث Gurung (2020) بنسبة (%) . بينها 1كانت نسبة الدراسة الحالية للمضاد الحيوي التيتراسايكلين (Tetracycline) بنسبة (% 20.8) وهذه النتيجة اظهرت اختلاف مع ما جاء في دراسة (2018) واخرون (2019)، بنسبة (%50).

وكانت نسبة الدراسة الحالية للمضاد الحيوي الريفامبسيلين (Rifampicin) بنسبة (37.5٪) وهذه النتيجة جاءت مقاربة لما جاء في دراسة الباحث (-Rens

burg) واخرون (2012)، بنسبة (/43.4)، بينها اختلفت مع دراسة (Huang) واخرون (2021)، بنسبة (1.1%). وكذلك كانت نسبة الدراسة الحالية للمضاد الحيوي التراي ميثوبريم (Trimethoprim) بنسبة (½ 2) وهذه النتيجة جاءت مقاربة لما جاء في دراسة (-Ham moudi) واخرون (2017)، بنسبة (18.6٪)، بينها اختلفت مع دراسات امریکیة استمرت خمس سنوات التي درسها الباحث(Ham) واخرون (2022)، بنسبة (1.3%)، وكذلك دراسة رومانيا للباحث (Tălăpan) واخرون (2017)، وبنسبة (٪0.96). بينها راتفعت نسبة الدراسة الحالية للمضاد الحيوى اليرثرومايسين (Erythromycin) بنسبة (/58.3) وهذه النتيجة كانت مقاربة لنتائج (AlAni) واخرون(2018)، بنسبة (/33)،، وكذلك دراسة (Bouchiat) واخرون (2015)، بنسبة (٪54.3)، وكانت مقاربة وبنسب متفاوتة لنتائج الباحث (Mohammadi) وأخرون (2020) و(Senobar Tahaei) وأخرون (2021) والباحثين الحيالي والسماك (2019)، بنسبة (12.3٪) و (1/44) و (1/7.88) على التوالى.



- 5. Ahmed, S. S.; Shariq, A.; Alsalloom, A. A.; Babikir, I. H.; and Alhomoud, B. N. (2019). Uropathogens and their antimicrobial resistance patterns: Relationship with urinary tract infections. International journal of health sciences, 13(2): 48-55.
- 6. Yang, I.A., Brown, J.L., George, J., Jenkins, S., McDonald, C.F., McDonald, V.M., Phillips, K., Smith, B.J., Zwar, N.A. and Dabscheck, E., 2017. COPD-X Australian and New Zealand guidelines for the diagnosis and management of chronic obstructive pulmonary disease: 2017 update. Medical Journal of Australia, 207(10), pp.436-442.
- 7. Pérez-de-Luque, A., Tille, S., Johnson, I., Pascual-Pardo, D., Ton, J. and Cameron, D.D., 2017. The interactive effects of arbuscular mycorrhiza and plant growth-promoting rhizobacteria synergistically enhance host plant defences against pathogens. *Scientific reports*, 7(1), p.16409.
- 8. Forbes, J.M. ed., 2007. Voluntary food intake and diet selection in farm animals. Cabi.
- 9. Hemraj, V., Diksha, S. and Avneet, G., 2013. A review on commonly used biochemical test for bacteria. *Innovare journal of life science*, *1*(1), pp.1-7.
- 10. Jarallah, E.M. and Abbas, F.M., 2014. Prevalence of VIM Metallo β–Lactamase among Clinical Isolates of Klebsiella pneumoniae in Hilla Hospitals. *Medical Journal of Babylon, 11*(4), pp.825-835.
- 11. Marcus, C.L., Brooks, L.J., Ward, S.D., Draper, K.A., Gozal, D., Halbower,

الاستنتاجات Conclusions

1- تشكل بكتريا المكورات العنقودية الذهبية Staph .aurius نسبة كبيرة من اصابات التهاب المجاري البولية في الانسان .

2- اظهرت المضادات الحيوية Penicillin عدم فعاليتها ضد عزلات بكتريا المكورات العنقودية الذهبية Staph .aurius المعزولة من التهاب المجاري البولية في الانسان اذ كانت نسبة مقاومة البكتريا لهذه المضادات .Vacomacin هو الاكثر فعالية اتجاه هذه البكتريا staph .aurius فعالية اتجاه هذه البكتريا .Staph .aurius

المصادر

- 1. Markey, B.K., Leonard, F.C. and Archambault, M.C., A. and Maguire, D.(2014). *Clinical Veterinary Microbiology. 2nded. Mosby Elsevier*, p.161.
- 2. Bolocan, A.S., Oniciuc, E.A., Alvarez-Ordonez, A., Wagner, M., Rychli, K., Jordan, K. and Nicolau, A.I., 2015. Putative cross-contamination routes of Listeria monocytogenes in a meat processing facility in Romania. *Journal of Food Protection*, 78(9), pp.1664-1674.
- 3. Tong, S.Y., Davis, J.S., Eichenberger, E., Holland, T.L. and Fowler Jr, V.G., 2015. Staphylococcus aureus infections: epidemiology, pathophysiology, clinical manifestations, and management. Clinical microbiology reviews, 28(3), pp.603-661.
- 4. Yousefi, M., Pourmand, M.R., Fallah, F., Hashemi, A., Mashhadi, R. and Nazari-Alam, A., 2016. Characterization of Staphylococcus aureus biofilm formation in urinary tract infection. Iranian journal of public health, 45(4), p.485.

- an Journal of Medical Research, 27(1), p.152.
- 16. Naimi, H.M., Rasekh, H., Noori, A.Z. and Bahaduri, M.A., 2017. Determination of antimicrobial susceptibility patterns in Staphylococcus aureus strains recovered from patients at two main health facilities in Kabul, Afghanistan. *BMC infectious diseases, 17*, pp.1-7.
- 17. Azzam, A., Khaled, H., Mosa, M., Refaey, N., AlSaifi, M., Elsisi, S., Elagezy, F.K. and Mohsen, M., 2023. Epidemiology of clinically isolated methicillin-resistant Staphylococcus aureus (MRSA) and its susceptibility to linezolid and vancomycin in Egypt: a systematic review with meta-analysis. *BMC Infectious Diseases*, 23(1), p.263.
- 18. Okorie-Kanu, O.J., Anyanwu, M.U., Ezenduka, E.V., Mgbeahuruike, A.C., Thapaliya, D., Gerbig, G., Ugwuijem, E.E., Okorie-Kanu, C.O., Agbowo, P., Olorunleke, S. and Nwanta, J.A., 2020. Molecular epidemiology, genetic diversity and antimicrobial resistance of Staphylococcus aureus isolated from chicken and pig carcasses, and carcass handlers. *PLoS One*, *15*(5), p.e0232913.
- 19. Al Zebary, M.K., Yousif, S.Y. and Assafi, M.S., 2017. The prevalence, molecular characterization and antimicrobial susceptibility of isolated from impetigo cases in Duhok, Iraq. *The Open Dermatology Journal*, 11(1).
- 20. Pasquinelli, A.E., Reinhart, B.J., Slack, F., Martindale, M.Q., Kuroda, M.I., Maller, B., Hayward, D.C., Ball, E.E., Degnan, B., Müller, P. and Spring, J.,

- A.C., Jones, J., Lehmann, C., Schechter, M.S., Sheldon, S. and Shiffman, R.N., 2012. Diagnosis and management of childhood obstructive sleep apnea syndrome. *Pediatrics*, *130*(3), pp.e714-e755.
- 12. Sanders, M.E., Merenstein, D.J., Reid, G., Gibson, G.R. and Rastall, R.A., 2019. Probiotics and prebiotics in intestinal health and disease: from biology to the clinic. *Nature reviews Gastroenterology & hepatology*, 16(10), pp.605-616.
- 13. Fischl, B., Salat, D.H., Van Der Kouwe, A.J., Makris, N., Ségonne, F., Quinn, B.T. and Dale, A.M., 2004. Sequence-independent segmentation of magnetic resonance images. *Neuroimage*, *23*, pp.S69-S84.
- 14. Cosentino, F., Grant, P.J., Aboyans, V., Bailey, C.J., Ceriello, A., Delgado, V., Federici, M., Filippatos, G., Grobbee, D.E., Hansen, T.B. and Huikuri, H.V., 2020. 2019 ESC Guidelines on diabetes, pre-diabetes, and cardiovascular diseases developed in collaboration with the EASD: The Task Force for diabetes, pre-diabetes, and cardiovascular diseases of the European Society of Cardiology (ESC) and the European Association for the Study of Diabetes (EASD). European heart journal, 41(2), pp.255-323.
- 15. Qodrati, M., SeyedAlinaghi, S., Dehghan Manshadi, S.A., Abdollahi, A. and Dadras, O., 2022. Antimicrobial susceptibility testing of Staphylococcus aureus isolates from patients at a tertiary hospital in Tehran, Iran, 2018–2019. *Europe*-

- infectious diseases, 2016.
- 26. Abbott, B.P., Abbott, R., Abbott, T., Acernese, F., Ackley, K., Adams, C., Adams, T., Addesso, P., Adhikari, R.X., Adya, V.B. and Affeldt, C., 2017. GW170817: observation of gravitational waves from a binary neutron star inspiral. *Physical review letters*, 119(16), p.161101.
- 27. Ambachew, D., Asfaw, A. and Blair, M.W., 2023. Phenotypic variability for root traits in Andean common beans grown with and without aluminum stress conditions. *Agronomy*, *13*(3), p.619.
- 28. Vicetti Miguel, C.P., Mejias, A., Leber, A. and Sanchez, P.J., 2019. A decade of antimicrobial resistance in Staphylococcus aureus: A single center experience. *PLoS One, 14*(2), p.e0212029.
- 29. AbdAlhafiz, A.I., Elleboudy, N.S., Aboshanab, K.M., Aboulwafa, M.M. and Hassouna, N.A., 2023. Phenotypic and genotypic characterization of linezolid resistance and the effect of antibiotic combinations on methicillin-resistant Staphylococcus aureus clinical isolates. *Annals of Clinical Microbiology and Antimicrobials*, 22(1), p.23.
- 30. Tian YueRu, T.Y., Li TianMing, L.T., Zhu YuanJun, Z.Y., Wang Bei, W.B., Zou Xue, Z.X. and Li Min, L.M., 2014. Mechanisms of linezolid resistance in staphylococci and enterococci isolated from two teaching hospitals in Shanghai, China.
- 31. Rafique, H., Hussain, N., Saeed, M.U., Iqbal, H.M., Azim, G. and Bilal, M., 2022. Linezolid-resistance Staphylococcus aureus-Prevalence, Emerging

- 2000. Conservation of the sequence and temporal expression of let-7 heterochronic regulatory RNA. *Nature*, 408(6808), pp.86-89.
- 21. Fri, J., Njom, H.A., Ateba, C.N. and Ndip, R.N., 2020. Antibiotic resistance and virulence gene characteristics of methicillin-resistant Staphylococcus aureus (MRSA) isolated from healthy edible marine fish. *International journal of microbiology, 2020*.
- 22. Lowy, F.D., 2003. Antimicrobial resistance: the example of Staphylococcus aureus. *The Journal of clinical investigation*, *111*(9), pp.1265-1273.
- 23. Congdon, S.T., Guaglione, J.A., Ricketts, O.M., Murphy, K.V., Anderson, M.G., Trowbridge, D.A., Al-Abduladheem, Y., Phillips, A.M., Beausoleil, A.M., Stanley, A.J. and Becker, T.J., 2023. Prevalence and antibiotic resistance of Staphylococcus aureus associated with a college-aged cohort: Life-style factors that contribute to nasal carriage. *Frontiers in Cellular and Infection Microbiology*, 13.
- 24. Vola, M.E., Moriyama, A.S., Lisboa, R., Vola, M.M., Hirai, F.E., Bispo, P.J.M. and Höfling-Lima, A.L., 2013. Prevalence and antibiotic susceptibility of methicillin-resistant Staphylococcus aureus in ocular infections. *Arquivos brasileiros de oftalmologia*, 76, pp.350-353.
- 25. Rağbetli, C., Parlak, M., Bayram, Y., Guducuoglu, H. and Ceylan, N., 2016. Evaluation of antimicrobial resistance in Staphylococcus aureus isolates by years. *Interdisciplinary perspectives on*

- Williams, S.A. and Parton, W.J., 2020. Bayesian calibration of the DayCent ecosystem model to simulate soil organic carbon dynamics and reduce model uncertainty. *Geoderma*, *376*, p.114529.
- 38. Sadri Nahand, J., Moghoofei, M., Salmaninejad, A., Bahmanpour, Z., Karimzadeh, M., Nasiri, M., Mirzaei, H.R., Pourhanifeh, M.H., Bokharaei-Salim, F., Mirzaei, H. and Hamblin, M.R., 2020. Pathogenic role of exosomes and microRNAs in HPV-mediated inflammation and cervical cancer: a review. International journal of cancer, 146(2), pp.305-320.
- 39. Rensburg, M.V., Whitelaw, A.C. and Elisha, B.G., 2012. Genetic basis of rifampicin resistance in methicillin-resistant Staphylococcus aureus suggests clonal expansion in hospitals in Cape Town, South Africa.
- 40. Cui, P., Lee, J., Hwang, E. and Lee, H., 2011. One-pot reduction of graphene oxide at subzero temperatures. *Chemical Communications*, 47(45), pp.12370-12372.
- 41. Vriens, K., Christen, S., Parik, S., Broekaert, D., Yoshinaga, K., Talebi, A., Dehairs, J., Escalona-Noguero, C., Schmieder, R., Cornfield, T. and Charlton, C., 2019. Evidence for an alternative fatty acid desaturation pathway increasing cancer plasticity. *Nature*, 566(7744), pp.403-406.
- 42. Hammoudi, N., Jeong, D., Singh, R., Farhat, A., Komajda, M., Mayoux, E., Hajjar, R. and Lebeche, D., 2017. Empagliflozin improves left ventricular diastolic dysfunction in a genetic model

- Resistance Mechanisms, Challenges and Perspectives. *Journal of Pure & Applied Microbiology*, 16(3).
- 32. Ansari, S., Nepal, H.P., Gautam, R., Rayamajhi, N., Shrestha, S., Upadhyay, G., Acharya, A. and Chapagain, M.L., 2014. Threat of drug resistant Staphylococcus aureus to health in Nepal. *BMC infectious diseases*, *14*, pp.1-5.
- 33. Horváth, A., Dobay, O., Sahin-Tóth, J., Juhász, E., Pongrácz, J., Iván, M., Fazakas, E. and Kristóf, K., 2020. Characterisation of antibiotic resistance, virulence, clonality and mortality in MRSA and MSSA bloodstream infections at a tertiary-level hospital in Hungary: a 6-year retrospective study. *Annals of clinical microbiology and antimicrobials*, 19, pp.1-11.
- 34. Singh, V. and Thurman, A., 2019. How many ways can we define online learning? A systematic literature review of definitions of online learning (1988-2018). *American Journal of Distance Education*, 33(4), pp.289-306.
- 35. Tălăpan, D., Sandu, A.M. and Rafila, A., 2023. Antimicrobial Resistance of Staphylococcus aureus Isolated between 2017 and 2022 from Infections at a Tertiary Care Hospital in Romania. *Antibiotics, 12*(6), p.974.
- 36. Huang, J., Zhang, F., Zhang, J., Dai, J., Rong, D., Zhao, M., Wang, J., Ding, Y., Chen, M., Xue, L. and Gu, Q., 2021. Molecular Characterization of Rifampicin-Resistant Staphylococcus aureus Isolates from Retail Foods in China. *Antibiotics*, *10*(12), p.1487.
- 37. Gurung, R.B., Ogle, S.M., Breidt, F.J.,

- 47. Cunge, G., Ferrah, D., Petit-Etienne, C., Davydova, A., Okuno, H., Kalita, D., Bouchiat, V. and Renault, O., 2015. Dry efficient cleaning of polymethyl-methacrylate residues from graphene with high-density H2 and H2-N2 plasmas. *Journal of Applied Physics*, 118(12).
- of type 2 diabetes. *Cardiovascular drugs* and therapy, 31, pp.233-246.
- 43. Ham, D.C., Fike, L., Wolford, H., Lastinger, L., Soe, M., Baggs, J. and Walters, M.S., 2023. Trimethoprim-sulfamethoxazole resistance patterns among Staphylococcus aureus in the United States, 2012–2018. *Infection Control & Hospital Epidemiology, 44*(5), pp.794-797.
- 44. Al-Kinani, A.A., Zidan, G., Elsaid, N., Seyfoddin, A., Alani, A.W. and Alany, R.G., 2018. Ophthalmic gels: Past, present and future. *Advanced drug delivery reviews*, *126*, pp.113-126.
- 45. فانم السماك and بنادية حسين الحيالي and بنادية حسين الحيالي, 2019. Molecular Diagnosis of Streptomyces rochei Isolates and Study their Ability to Produce Antibiotics Against Multidrug Resistance Staphylococcus aureus and Pseudomonas aeruginosa. College Of Basic Education Researches Journal, 15(4).
- 46. Senobar Tahaei, S.A., Stájer, A., Barrak, I., Ostorházi, E., Szabó, D. and Gajdács, M., 2021. Correlation between biofilm-formation and the antibiotic resistant phenotype in Staphylococcus aureus isolates: a laboratory-based study in Hungary and a review of the literature. *Infection and drug resistance*, pp.1155-1168.